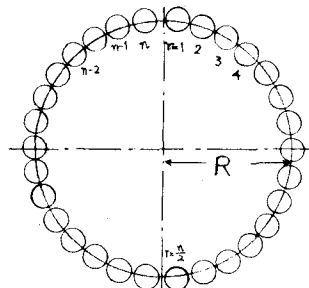


北海道大学 正員 能町純雄  
苫小牧高専 正員 ○澤田知之

### 1. まえがき

本論は、橋梁や密鉄炉等の大型構造物の基礎として用いられている鋼管矢板井筒型基礎構造を取り上げ、固有振動解析を行なったものである。本解析においては互いに隣接する杭の継手を力学的バネと考え、個々の杭要素が受け持つ力はその継手に生ずる伝達力と地盤反力をあることに論理を置いている。質量は深さ方向の線分布集中質量が、杭要素中心に存在するものとしてカツツり合ひ式を導く。杭は基底で固定、地表で自由とし、土のK値をもって振動方程式を求めた。各次振動における継手の力学的バネ係数の変化による固有振動数を求め得たので報告するものである。



### 2. 理論式の説明

図-2～3より構造の半径方向、接線方向の曲げと杭の振り及び軸方向のつり合いより次の4本の基本微分差分方程式が説明される。

$$EI \frac{\partial^4 U_r}{\partial x^4} + K \cdot D \cdot U_r + \rho A \frac{\partial^2 V_r}{\partial t^2} = K_N [ \{ \Delta^2 U_{r-1} - \Delta^2 \theta_{r-1} \} \cos \alpha + \Delta V_r \sin \alpha ] \cdot \cos \alpha \\ + K_T [ \{ -\nabla^2 U_{r-1} + \Delta^2 \theta_{r-1} \} \sin \alpha + \Delta V_r \cos \alpha ] \cdot \sin \alpha \quad (1)$$

$$EI \frac{\partial^2 V_r}{\partial x^2} + K \cdot D \cdot V_r + \rho A \frac{\partial^2 U_r}{\partial t^2} = -K_N [ \{ \Delta U_r - \nabla^2 \theta_{r-1} \} \cos \alpha + \nabla^2 V_r \sin \alpha ] \cdot \sin \alpha \\ + K_T [ \{ -\Delta U_r + \Delta^2 \theta_{r-1} \} \sin \alpha + \Delta^2 V_r \cos \alpha ] \cdot \cos \alpha \quad (2)$$

$$-GJ \frac{\partial \theta_r}{\partial x} + \frac{\rho A R^2}{2} \frac{\partial^2 \theta_r}{\partial t^2} = K_N [ \{ \Delta U_r - \nabla^2 \theta_{r-1} \} \cos \alpha + \nabla^2 V_r \sin \alpha ] \cdot \cos \alpha \\ + K_T [ \{ -\Delta U_r + \Delta^2 \theta_{r-1} \} \sin \alpha + \Delta^2 V_r \cos \alpha ] \cdot \sin \alpha \quad (3)$$

$$EA \frac{\partial^2 W_r}{\partial x^2} + \rho A \frac{\partial^2 W_r}{\partial t^2} = K_s [ \Delta^2 W_{r-1} + \Delta \dot{V}_r \alpha ] \quad (4)$$

…

$U_r$ : 構造の半径方向杭変位  $K$ : 地盤反力係数 ( $\text{kg/cm}^2$ ),  $S = \frac{F}{A}$

$V_r$ : 構造の接線方向杭変位  $\gamma$ : 杭の単位体積重量 ( $\text{kg/cm}^3$ )

$W_r$ : 杭の軸方向変位 (cm)  $g$ : 重力加速度 ( $980 \text{ cm/sec}^2$ )

$\theta_r$ : 杭の回転変位 (rad)  $D$ : 杭直徑 (cm),  $a$ : 杭半径 + 継手長さ

$\Delta^2, \nabla^2, \Delta$  の記号は各々、2次差分、2次和分、及び偏差分を示す次の如くである。 $\Delta U_{r-1} = U_{r+1} - 2U_r + U_{r-1}$ ,  $\Delta V_r = V_{r+1} - V_{r-1}$

$\nabla^2 \theta_{r-1} = \theta_{r+1} + 2\theta_r + \theta_{r-1}$  等を示す。

(1)～(4)において次に示す様に各変位を正弦振動と仮定する。

$$U_r = U(x) \cdot \cos \frac{2\pi r}{R} \cdot \sin \omega t \quad (5) \quad V_r = V(x) \cdot \sin \frac{2\pi r}{R} \cdot \sin \omega t \quad (6) \quad \rho = \text{振動数}$$

$$\theta_r = \theta(x) \cdot \sin \frac{2\pi r}{R} \cdot \sin \omega t \quad (7) \quad W_r = W(x) \cdot \cos \frac{2\pi r}{R} \cdot \sin \omega t \quad (8)$$

よって上記(5)～(8)により(1)～(4)を整理し、軸方向xに関する微分

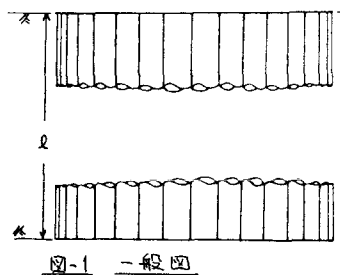
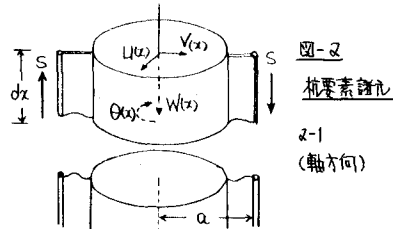
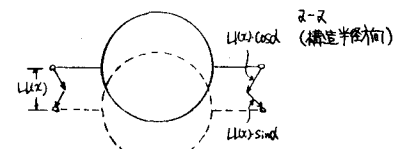


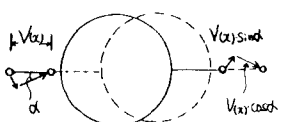
図-1 一般図



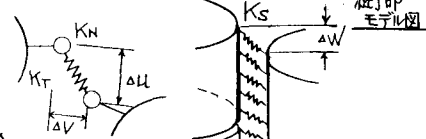
2-2  
(軸方向)



2-3  
(構造横方向)



2-3  
(構造横方向)



方向に有限 Fourier 変換を行なって整頓すると次に示す様に表わすことができる。

$$\begin{array}{c}
 \left| \begin{array}{ccccc}
 m^2 \cdot a_1 & & a_2 & a_3 & 0 \\
 b_1 & m^2 + bbm^2 \cdot b_2 & b_3 & b_4 \cdot m & \\
 c_1 & c_2 & m^2 + c_3 & 0 & \\
 0 & d_2 \cdot m & 0 & m^2 \cdot d_4 &
 \end{array} \right| \cdot \left| \begin{array}{c}
 \tilde{U}(x) \\
 \tilde{V}(x) \\
 2\pi \omega \theta(x) \\
 \tilde{W}(x)
 \end{array} \right| = \left| \begin{array}{c}
 \frac{\partial}{\partial x} \tilde{U}(x) \\
 \frac{\partial}{\partial x} \tilde{V}(x) \\
 (\frac{\partial}{\partial x})^3 \tilde{U}(x) \\
 (\frac{\partial}{\partial x})^3 \tilde{V}(x) \\
 \frac{\partial}{\partial x} \tilde{W}(x) \\
 \frac{\partial}{\partial x} \tilde{W}(x)
 \end{array} \right| \\
 = \left| \begin{array}{cccccccccc}
 -e^{imx} m & m & -e^{imx} -m^2 & 0 & 0 & 0 & 0 & 0 & 0 & 0 & 0 \\
 0 & 0 & 0 & 0 & -e^{imx} m & e^{imx} \{ m^2 - \delta m \} & -m^2 + \delta m & 0 & 0 & 0 & 0 \\
 0 & 0 & 0 & 0 & 0 & 0 & 0 & 0 & 0 & 0 & 0 \\
 0 & 0 & 0 & 0 & 0 & 0 & -e^{imx} \omega r & \omega r & 0 & 0 & e^{imx} - 1
 \end{array} \right| \quad (9)
 \end{array}$$

但し、  
 $a_1 = \frac{(K_D - \rho A P^2 + K_W D_i \cos \alpha + K_T E_i \sin \alpha)}{EI} \cdot M = \frac{GJ}{EI} \quad \delta = \frac{K_D E_i \alpha^2}{EI} \left( \frac{l}{R} \right)^2$   
 $b_1 = \frac{(K_D)^2}{EI} \{ K_W + K_T \} \cdot S_i \sin \alpha \cos \alpha$   
 $c_1 = \frac{(K_D)^2}{EI} \{ -K_W \cos \alpha + K_T \sin \alpha \} \cdot S_i$   
 $d_2 = \frac{(K_D)^2}{EI} \{ K_W + K_T \} \cdot S_i \sin \alpha \cos \alpha$   
 $bb = \frac{(K_D)^2}{EI} K_S \cdot E_i$   
 $b_2 = \frac{(K_D)^2}{EI} \{ K_D - \rho A P^2 + K_W E_i \sin \alpha + K_T D_i \cos \alpha \}$   
 $c_2 = \frac{(K_D)^2}{EI} \{ K_W E_i - K_T D_i \} \sin \alpha \cos \alpha$   
 $d_4 = \frac{(K_D)^2}{EI} \{ K_S S_i \}$   
 $\delta = -\left( \frac{l}{\pi} \right)^2 \frac{A}{I} \quad \omega_r = \frac{K_D E_i \alpha}{EI} \left( \frac{l}{R} \right)^3$   
 $D_i = 4S_i^2 \frac{\pi^2}{l^2} \quad E_i = 4 \cos^2 \frac{\pi x}{l} \quad S_i = 2 \sin^2 \frac{\pi x}{l}$   
 $0.3 = \frac{(-\omega_r)^2}{GJ} \{ K_W \cos \alpha + K_T \sin \alpha \} \cdot S_i$   
 $b_3 = \frac{(-\omega_r)^2}{GJ} \{ K_W E_i - K_T D_i \} \sin \alpha \cos \alpha$   
 $c_3 = \frac{(-\omega_r)^2}{GJ} \left\{ \frac{-\rho A P^2}{2a^2} l^2 + K_W E_i \cos \alpha + K_T D_i \sin \alpha \right\} S_i$   
 $d_4 = \frac{(-\omega_r)^2}{EA} K_S S_i$   
 $\omega_r = \frac{(K_D)^2}{EA} \{ \rho A P^2 - K_S D_i \}$   
 $K_N K_T K_S : \text{各構造半径方向, 構造方向, 基準方向の力学的パネ定数 (N/mm)}$

故に(9)式を有限 Fourier 逆変換するこにより一般式を求め得る。

### 3. 境界条件及び数値計算例

今、構造の天端自由、基底で固定条件とすると、(9)において各々  
 $\tilde{U}(0) = \tilde{V}(0) = \tilde{U}(l) = \tilde{V}(l) = \tilde{\theta}(0) = \tilde{W}(0) = 0$  であり、次に剪断力、  
 たわみ角速度関係は  $\dot{\tilde{U}}(0) = 0$  (10)  $\ddot{\tilde{V}}(0) = 0$  (11)  $\dot{\tilde{\theta}}(0) = 0$  (12)  
 $\dot{\tilde{U}}(l) = 0$  (13)  $\dot{\tilde{V}}(l) = 0$  (14)  $E A \dot{\tilde{W}}(l) = K_T A W(l)$  (15) であること  
 より、(10)～(15)の条件式より  $\det = 0$  と置くことより、振動方程式  
 を知り得る。計算諸元は  $l = 80\text{cm}$ ,  $E = 3.5 \times 10^4 \text{ N/cm}^2$ ,  $D = 2.65\text{cm}$ ,  $a = 4.92\text{cm}$ ,  
 $I = 69.2\text{cm}^4$ , ポアソン比  $\nu = 0.3$  とし、この種の構造の特長を理解とする  
 為に地盤反応係数  $K = 0.1 \text{ cm}^{-1}$  として行なった。図-4 に各振動次数の  
 繼手パネ定数の変化による固有振動数の関係を示す。これは、パ  
 ネ定数が大、つまり繫手が剛になると高い振動数を示すことか  
 示され、高次の振動程高い振動数となることを表わしている。又、  
 片持ち梁の固有振動数  $73.01 \text{ Hz}$  と、本解析において  $K_T = K_N = 0.001$   
 $K_S = 0$  とおいた時の值  $75.00 \text{ Hz}$  とは近似値を呈し、妥当な傾向  
 と言える。尚、数値計算は北海道大学大型計算機センター FACOM 230  
 $60/\text{s}$  及び筑波高専 HITAC 8250 を使用した。

### ※参考文献

- ・能町・松岡・澤田：軸方向に二方向で結合された鋼管パイル基礎の固有振動解析について（日本学会北海道支部論文報告集第30号）
- ・建設省先板式基礎委員会：先板式基礎の設計施工指針（S447）
- ・北海道土木技術会銀道路橋石研究委員会：北海道における銀道路橋の設計及び施工指針（S54）
- ・能町・澤田：鋼管杭による井筒型基礎構造の実験的研究について（日本学会第34回年次学術講演会講演概要集I-66）

